ISSN 0101-3084



CNEN/SP

Instituto de Pesquisas Energéticas e Nucleares

UA

CARACTERÍSTICAS E NORMAS TÉCNICAS DO CONJUNTO DE REATIVO ("kit") PARA O DOSEAMENTO DE INSULINA HUMANA, POR RADIOIMUNOENSAIO

Carlos Henrique Mesquita, Constância Pagano Gonçalves Silva e Margarida Mizue Hamada

PUBLICAÇÃO IPEN 84

NOVEMBRO/1985

PUBLICAÇÃO IPEN 84



NOVEMBRO/1985

CARACTERÍSTICAS E NORMAS TÉCNICAS DO CONJUNTO DE REATIVO ("kit") PARA O DOSEAMENTO DE INSULINA HUMANA, POR RADIOIMUNOENSAIO

Carlos Henrique Mesquita, Constância Pagano Gonçalves Silva e Margarida Mizue Hamada

DEPARTAMENTO DE PROTEÇÃO RADIOLÓGICA

CNEN/SP
INSTITUTO DE PESQUISAS ENERGÉTICAS E NUCLEARES
SÃO PAULO -- BRASIL

Série PUBLICAÇÃO IPEN

INIS Categories and Descriptors

C45.00

INSULIN RADIOIMMUNDASSAY

Publicação aprovada pala CNEN am 28/05/85.

CARACTERÍSTICAS E NORMAS TÉCNICAS DO CONJUNTO DE REATIVO ("kit") PARA O DOSEAMENTO DE INSULINA HUMANA, POR RADIOIMUNDENSAIO

Carlos Henrique Mesquita, Constância Pagano Gonçalves Silva e Margarida Mizue Hamada

RESUMO

Descrevem-se as características metodológicas do conjunto de reativos para a dosagem de ineculina por radioimunoensaio preparado no IPEN-CNEN/SP.

rioram avaliados suscintamente: a atividade específica da insulina-¹²⁵1, a constante de afinidade ia de resção antígeno-anticorpo, a comparação entre dois procedimentos de purificação da radioinsulina, a dose mênima detectuvel pelo radioinunoensaio, a cinética de degradação da radioinsulina imunorreativa, o perfil de precisão do ensaio, o efeito da temperatura de incubação no desempenho do radioensaio e os valores de normalidade.

THE INSULIN RADIOIMMUNOASSAY kit PREPARED BY IPEN-CNEN/SP TECHINICAL SPECIFICATIONS

ABSTRACT

The specifications and methodologicals aspects of the insulin radioimmunoassay kit produced by IPEN-CNEN/SP are described.

The limitations, taking care and the followings quality control parameters or procedures are discussed: specific radioactivity, comparison between two insulin-^{12.5}l purification procedures, affinity constant "K" of the entigen-antibody reaction, minimal detectable dose (MDD), kinetics degradation of the radioinsulin, radioassay imprecision profile, radioassay performance temperature dependence and normal values histogram.

1 - INTRODUÇÃO

A dosagem do nível sérico da insulina tem sido utilizada com muita freqüência na diagnose e pesquisa médica moderna.

Dentre as técnicas mais utilizadas para a quantificação da concentração de insulina, o radioimunoensaio (RIE) tem sido preferido devido a sua extrema simplicidade operacional e qualidade metodológica⁽¹⁾.

Tradicionalmente, Instituto de Pesquisas Energéticas e Nucleares, CNEN/SP tem-se destacado como uma das principais instituições do país na difusão da metodologia dos RIE^(7,1,3,20,22). Nesse

sentido, propusemo-nos a ampliar esta contribuição mediante a produção dos reagentes básicos necessários para o doseamento da insulina, viabilizado na forma de conjuntos de reativos ou "kit".

O propósito deste trabalho é relatar as características metodológicas do "kit-insulina", os cuidados especiais na sua utilização e descrever suas limitações.

2 - MATERIAIS E MÉTODOS

- 2.1 Insulina-125/
 - 2.1.1 Marcação da Insulina com 1251

A insulina á radioiodada pelo método subestequiométrico da Cloramina T descrito por Freychet e co!⁽⁴⁾. Apenas marcações com rendimentos superiores a 60% são utilizadas para fornecimento.

2.1.2 · Purificação da Insulina-1251

- O substrato marcado com 1251 foi purificado em:
- a) Coluna cromatográfica de dimensão 1 x 30 cm (diâmetro, altura) preenchida com sephadex G-50 fino (partículas tamanho 20-80 μ m) (21).
- b) Coluna com dimensões 0,7 x 4 cm (diâmetro, altura) de celulose Whatrnan CF 11 (medium lenght Libres, ash max 0,015%) de acordo com Yalow e Berson⁽¹⁾. Uma pequena alíquota de insulina purificada por este processo é cromatografada em uma coluna de sephadex G-50 para a avaliação do seu grau de pureza, utilizando-se o mesmo procedimento do item "a" acima descrito. A seguir a insulina-¹²⁵1 é diluída em Tampão Veronal 0,05M pH 8,6 com 0,33% de soro albumina bovina (BSA) de modo a se obter a radioatividade volumétrica de aproximadamente 2,4 x 10⁶ cpm/ml e conservada no congelador (-20°C).

2.1.3 - Determinação de Atividade Específica da Insulina-125 I

A atividade específica do produto marcado é determinada pelo método do auto deslocamento descrito por Morris^(1,1).

2.2 · Anticorpo Anti-insulina

2.2.1 - Produção do Anti-soro Anti-insulina

O anti-soro, anti-insulina foi preparado segundo, os procedimentos descritos por Yalow⁽²³⁾ e utilizado no radioimunoensaio na diluição final de 1 : 150 000.

2.2.2 - Anti-soro Utilizado nos Ensaios

O anti-soro foi diluído em Tampão Veronal 0,05M pH 8,6 \pm 0,33% de BSA, numa diluição de 1:50 000 e conservado a \pm 20°C.

2.3 - Soros de Referência (Padrões)

2.3.1 - Preparação da Mistura de Soros Humanos Isenta de Insulina (Soro STRIP)

Na preparação de soros de referência (padrões) utilizou-se uma mistura de soros humanos ("pool"), selecionados de pessoas consideradas normais, na qual extraiu-se a insulina presente. A extração de insulina endógena foi realizada utilizando-se carvão ativado, segundo a técnica descrita por Heyns⁽⁶⁾.

2.3.2 - Preparação de Soluções Séricas Concentradas de Insulina

Solução a: é preparada a partir da insulina cristalizada, mediante o seguinte protocolo:

Pesar 1000 μg da insulina porcina cristalizada Adicionar 50 μ l de solução de HCl 1N Completar volume para 1000 μ l com água destilada Concentração final = 25 x 10⁶ μ U/ml.

Solução B:

Aliquotou-se $5\,\mu l$ da solução α e diluiu-se em 12,5 ml de soro "strip". A concentração final da solução β corresponde a $10^4\,\mu U/m l^{(*)}$.

2.3.3 - Preparação dos soros referenciais para definir a curva de dose resposta (curva padrão).

Soro referência 200 µl/ml Solução β 200 μl Soro "STRIP" q.s.p. 10 ml Soro referência 100 µU1/ml Solução β 100 μl Soro "STRIP"..... q.s.p 10 ml Soro referência 50 2UI/ml Solução β 50 μl Soro "STRIP" g.s.p. 10 ml Soro referência 25 µUI/ml Solução β 25 μl Soro "STRIP" q.s.p 10 ml Soro referência 10 µUI/ml Solução β 10 μΙ Soro "STRIP" q.s.p 10 ml Soro referência 0 µUI/ml

A seguir dividiu-se o conteúdo de cada frasco em alíquotas de 1 ml (2 ml de soro referência de 0 μ UI/ml) e foram conservados a $\sim 20^{\circ}$ C.

2.3.4 - Caracterização dos Valores de Normalidade

Utilizou-se o próprio soro "STRIP".

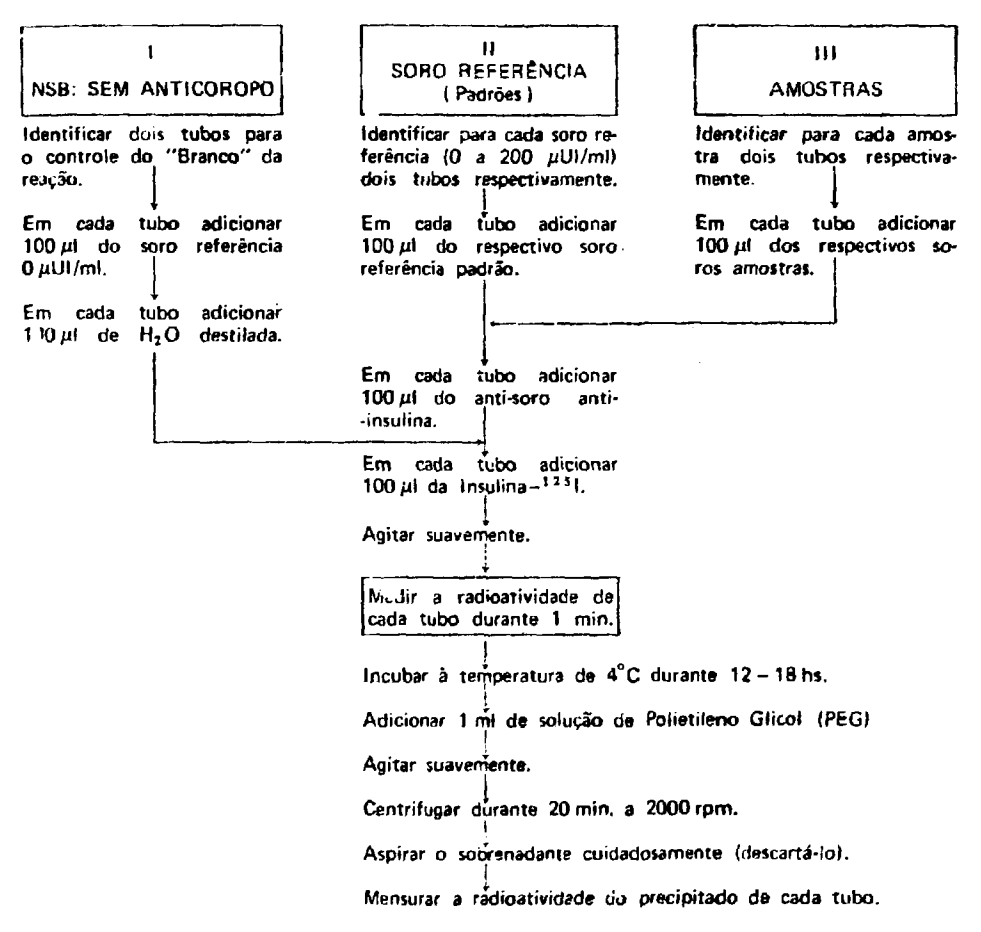
Foram dosados 26 soros de pessoas consideradas normais, amostrados em jejum.

^{(*) ¿}LUI/mi - Unidade de concentração da insulina que representa Micro Unidades Internacionais por Millitro. Terminologia usada pelos profissionais da área.

Para dois destes 26 indivíduos acima referidos foram administrados 75 g (via oral) de glicose e colheram-se amostras nos seguintes tempos após ingestão po estimulante: 30 min., 60 min., 90 min., 120 min., 180 min.

2.4 - Protocolo do Radioimungensaio da Insulina

O protocolo geral do radioimunoensaio adotado no "kit" encontra-se esquematizado na Figura 1.



^(*) NSS representa o nível de ligações não específicas que ocorrem entre a insulina independentemente da participação do anti-soro.

Figura 1 — Protocolo Geral do Radioimunoerisaio do "kit" Insulina.

2.5 - Processamento dos Dados

Os cálculos relativos à avaliação da atividade específica da insulina-¹²⁵I, da análise de Scatchard^[18] isto é caracterização das constantes: K, q e K_nq_n definidas no item 3.2.1, da dose mínima significativa, dos perfis de precisão e dos simulados para diferentes temperaturas foram processados em computador IBM/370 utilizando-se o sistema GARLA^[9,10] disponível no Departamento de Processamento de Dados do Instituto de Pesquisas Energéticas e Nucleares – CNEN/SP.

3 - RESULTADOS E COMENTÁRIOS

3.1 - Características da Insulina-125 l

Os dados a seguir reunem os resultados do comportamento da radioinsulina purificada em coluna de sephadex G-50 e em coluna de celulose Whatman. CF 11. A Figura 2 mostra os radiocromatogramas do extrato marcado processado com e sem a purificação em coluna de celulose CF 11.

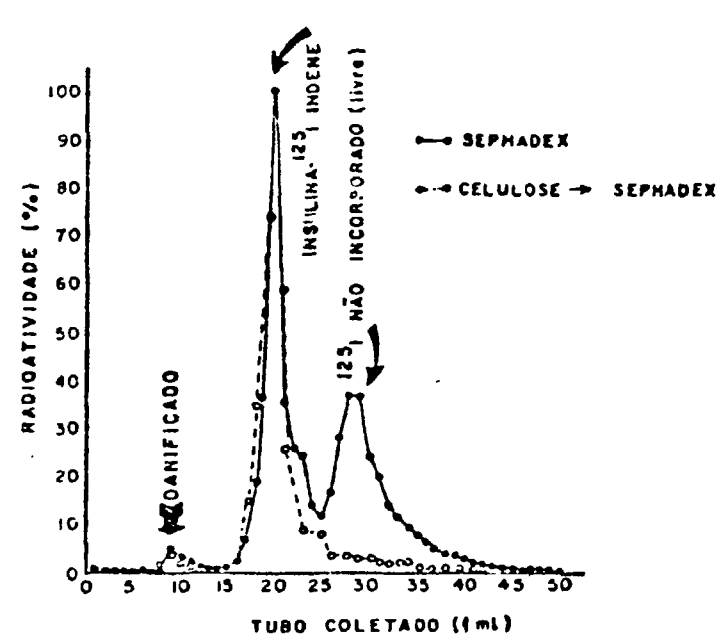


Figura 2 - Radiocro.natogramas de Extratos Marcados de Insulina-1251.

Como se observa, a insulina-¹²⁵ l purificada em celulose é praticamente pura pois a fração indene correspondeu a quase totalidade da radioatividade frente daquela denominada "danificada" e a do ¹²⁵ l-tivre.

A Tabela I reúne dados comparativos de parâmetros do radioimunoensaio calculados a partir das duas fontes de radioinsulina: purificada em sephadex e em celulose. Os resultados desta tabela apontam a purificação pela celulose como a mais adequada pois, com esse processo obteve-se índice mais elevado da capacidade de ligação (Bo/T)^(*), constante de afinidade "K" mais elevada sem comprometer o desempenho geral dos demais parâmetros.

Tabela I

Análise Comparativa das Características da Radioinsulina-125† Purificada em

Sephadex G-50 e em Calulose CF II

PARÁMETRO	PURIFICAÇÃO		
	SEPHADEX	CELULOSE	
Atividade específica	253 Ci/g	229 Ci/g	
Constante de afinidade K	38 x 10° L/Mol	48 x 10° L/Mol	
Bo/T	27%	37%	
NSB (não específico)	5%	5%	
*50%(* *)	30 uUI/ml	40 uUI/mI	
Inclinação da curva ('Slope')	0,95	1,0	

^(*) Bo/T e a razão do nível da radioatividade do complexo anticorpo-insulina ¹²⁵I pela radioatividade total T da Insulina-¹²⁵I adicionada no tubo de reação, na ausência de insulina fria (padrão 0).

^{(**) *50%} representa a concentração do hormônio frio necessário para deslocar o valor de B/T ao nível de 50% do inicial (Bb/T).

3.1.2 - Atividade Específica da Insulina-1251

A Figura 3b mostra os resultados da atividade específica da Insulina-¹²⁵l marcada, em sete ensaios. O valor médio daquelas resultados foi de 196 ± 33 Ci/g. Esse valor permite-nos estimar que a incidência de átomos de ¹²⁵l por molécula de insulina é da ordem de 0,5 ¹²⁵l/molécula, indicando-se que a atividade específica da insulina fornecida é de no mínimo 130 Ci/g e no máximo 260 Ci/g.

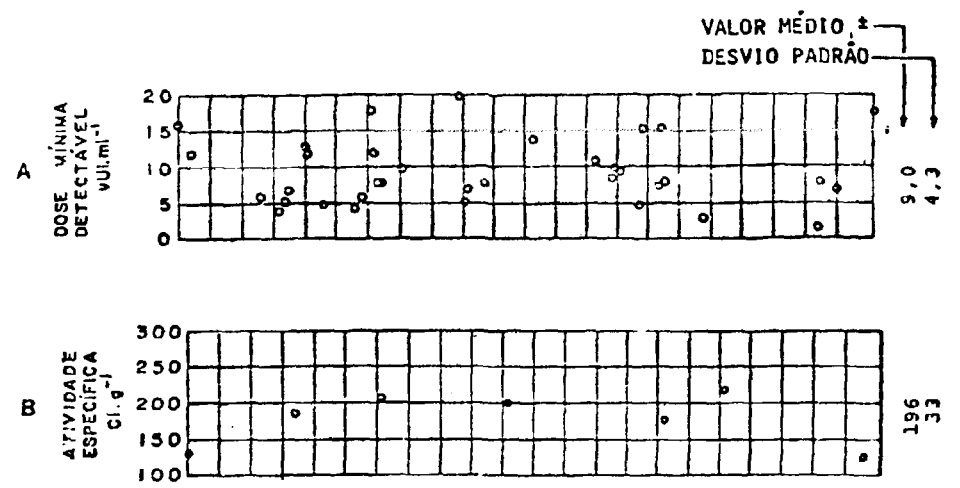


Figura 3 — Estudo Sistemático ao Longo de 220 Dias da Dose Mínima Detetável em 35 Radioensaios (A) e da Atividade Específica da Radioinsulina Referente a Sete Radiomarcações (B).

3.1.3 - Prazo de Validade da Insulina-125 I

A Figura 4 mostra, ao longo de 124 días, o comportamento cinético da degradação de três amostras da Insulina radioiodada e conservadas em temperaturas a -20°C.

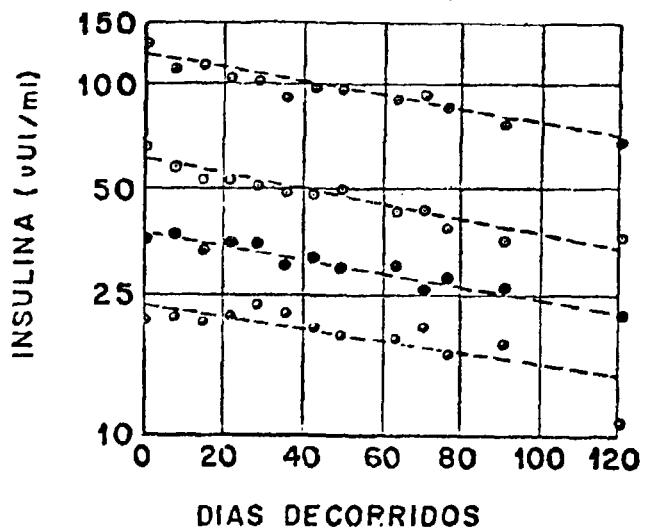


Figura 4 — Determinação da Concentração Químico de Três Amostras de Insulina-1251 em Diferentes Níveis de Radioatividade.

- ⊕ → amostra contendo inicialmente 230,000 com
- ⊕ → amostra contendo inicialmente 110.000 cpm
- amostra iodada fria (1251- Insulina)
- amostra contendo incialmente 60.000 cpm

As três retas exponenciais se ajustaram à equação C(t) = Coe^{-δt} onde "t" representa o tempo decorrido, δ é a constante de degradação cujo valor mádio foi de 0,0045, Co a concentração inicial e C(t) a concentração relativa ao dia "t". De acordo com esse tipo de decaimento químico da concentração, o prazo de validade pode ser estimado pela expressão:

$$Pv = \frac{\ln 1}{\lambda}$$
 (1)

onde: I é a fração indene da radioinsulina, isto é, da radioatividade total "T" somente a fração "I" corresponde a fração imunorreativa.

Particularmente, adotamos como condição de validade o tempo em que o produto marcado atinge o nível de 80% de sua integridade inicial e portanto mediante a aplicação da expressão⁽¹⁾ o prazo de validade da insulina é da ordem de 50 dias.

3.2 - Características do Anti-soro Anti-insulina Porcina Empregado

3.2.1 - Constante de Afinidade, Heterogeneidade do Anti-soro e Concentração Molar

A Figura 5 mostra o resultado gráfico da análise de Scatchard na qual associa a razão B versus B/F = $\frac{B/T^*}{1-B/T}$ permitindo daí inferir a constante de afinidade "K" e a concentração molar "q" do anti-soro.

O comportamento não linear da curva da Figura 5 sugere que o ant-sorro empregado deve conter mais de um tipo de sítio de ligação.

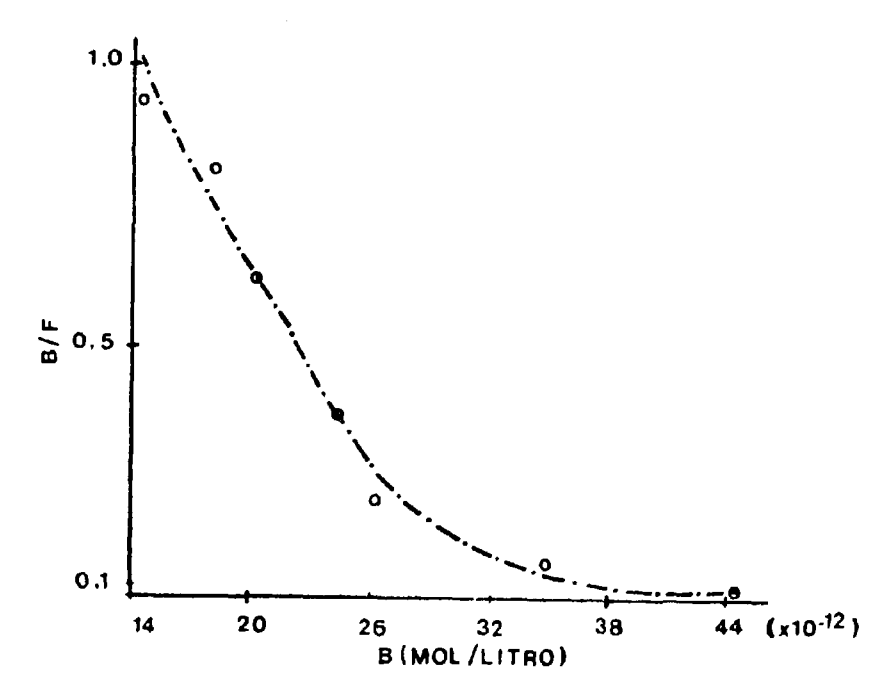


Figura 5 — Traçado da Cirva de Scatchard do Ensaio da Insulina Incubado a 4°C. O Sinal '+'
Corresponde ao Valor Teórico Calculado a Partir dos Valores de K₁, q₁ e K_nq_n Constantes
na Tabela II. O Sinal 'x' Corresponde ao Valor Experimental.

^(*) B/T é a razão do nível de radioatividade do complexo anticorpo-Insulina-¹²⁵I pela radioatividade total T adicio nada. F corresponde a fração da Insulina-¹²⁵I não ligada ao anticorpo.

Os dados experimentais contidos na Figura 5 se ajustaram adequadamente ao modelo analítico de dois tipos de sítios de ligação, expresso pela função.

$$\frac{B/T}{1-B/T} = \frac{K_1 q_1}{1+K.[x].(1-B/T)} + K_n q_n$$
 (2)

representativo de duas populações de moléculas das quais uma específica e saturável e outra não específica e insaturável. Nesta equação K_1 representa a constante de afinidade propriamente dita, " q_1 " a concentração molar das moléculas de anti-soro, $\{x\}$ a concentração de insulina empregada no ensaio e $K_n q_n$ o produto representativo das ligações denominadas de "não-específica" $^{(15)}$.

3.2.2 - Efeito da Temperatura na Capacidade Imunor, ativa

A Tabela II mostra os resultados das constantes K_1 e do produto $K_n q_n$ de três ensaios efetuados respectivamente a 4°C, 20°C, e 37°C, utilizando os mesmos reagentes. Os valores de K_1 mostraram-se comparáveis àqueles relatados em literatura^(B). Desses dados infere-se que a reação da insulina com o seu anti-soro é fortemente influenciada pela temperatura pois a diferença da capacidade de ligação refletida pelo valor da constante K_1 foi ponderável. Como conseqüência, sugere-se especial atenção quanto a manutenção da temperatura nas diversas fases da dosayem (período de incubação, centrifugação).

Tabela II

Resultados da Constante de Afinidade K₁ do Sítio Específico e do Produto K_nq_n das Ligações não Específicas. Abaixo indica-se a Concentração Molar Calculada do Anti-soro Utilizado na Reação

TEMPERATURA	CONSTANTE DE AFINIDADE K ₁ (I/mol)	K _n q _n (NÃO ESPECIFICA)
4°C	86 x 10 ⁹	47 x 10 ⁻³
20°C	84 × 10	65 x 10 ⁻³
37°C	30 × 10 ⁹	59 x 10 ⁻³

Concentração do antisoro = 23 x 10⁻¹² (nol/).

Em virtude do elevado valor de K₁ obtido à temperatura de 4°C frente as demais temperaturas preferiu-se padronizar o protocolo do ensaio àquela temperatura (4°C). Na Figura 6 é demonstrado o efeito da temperatura de incubação no comportamento da curva padrão do radioensaio. Como se nota, as temperaturas de incubação mais baixas geram curvas-padrão mais sensíveis.

3.2.3 - Prazo de Validade

De acordo com experimentos ainda não compilados a validade do anti-soro conservado em congelador (aproximadamente -20°C) é de pelo menos 1 ano.

3.3 - Características dos Soros de Referência (padrões)

3.3.1 - Exatidão

A Tabela III mostra os resultados de concentração dos 6 soros de referência desados em três laboratórios conceituados.

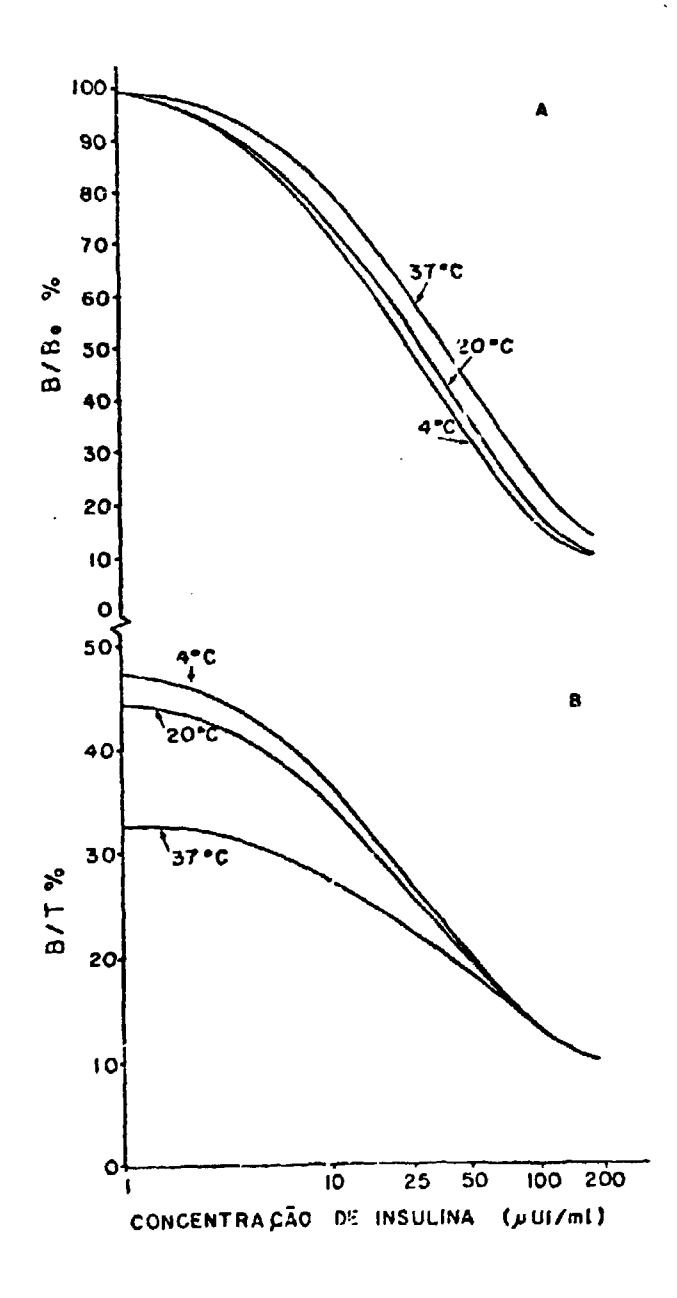


Figura 6 — Efeito da Temperatura de Licubação do Radioensaio no Comportamento do Traçado da Curva Padrão. Em "A" Mostram-se as Curvas-padrão Traçadas com Ordenada B/B₀% e em "B" Traçadas com Ordenada B/T%.

Tabela III

Avaliação da Exatidão dos Soros de Referência (padrões). Laboratórios A e B Utilizam Reagentes

Preparados "in loco". Laboratório C Utilizou "kit" de Reativos Importado

PADRÃO	ı	LABORATÓRIO		MÉDIA ± 1 D.P. (C.V. %)*
(μUI/mI)	Α	В	С	
		(μUI/mi)	(μUt/mt)	
o	7	5	2	4,7 ± 2,5 (54%)
10	12	15	8 -	11,7 ± 3,5 (30%)
25	32	22	27	27,0 ± 5,0 (19%)
50	54	60	47	53,7 ± 6,5 (12%)
100	115	92	118	108,3 ± 14,2 (13%)
200	230	189	212	210,3 ± 20,6 (10%)

^(*) D.P. = desvio padrão

Esta tabela sugere que o nível de exatidão na preparação dos soros de referência é da ordem de 10% a 30%, não descontando a variação interensaio.

3.3.2 - Prazo de Validade dos Soros de Referência

Os soros de referência conservados em congelador tem duração de pelo menos 4 meses.

3.4 - Valores de Normalidade

3.4.1 - Valores Basais

A Figura 7 mostra o histograma relativo a 26 indivíduos considerados normais amostrados em jejum. O valor médio é de 8 \pm 6 μ UI/ml cuja faixa de normalidade basal é de 0 a 20 μ UI/ml ao nível estatístico de P = 0.05.

3.4.2 - Teste Dinâmico Estimulado com Glicose

A Figura 8 mostra valores típicos para o teste de estímulo com glicose (75 g via oral).

C.V. % = coeficiente de variação percentual

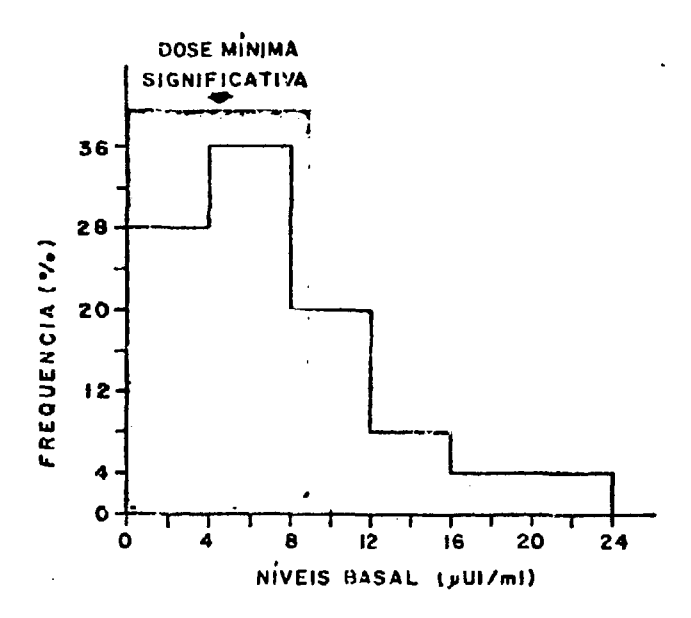


Figura 7 — Distribuição de Freqüência de Valores Basais da Insulina de 26 Indivíduos Considerados Normais. A Faixa Achureada Corresponde ao Nível de Concentração Indetectável pelo Método.

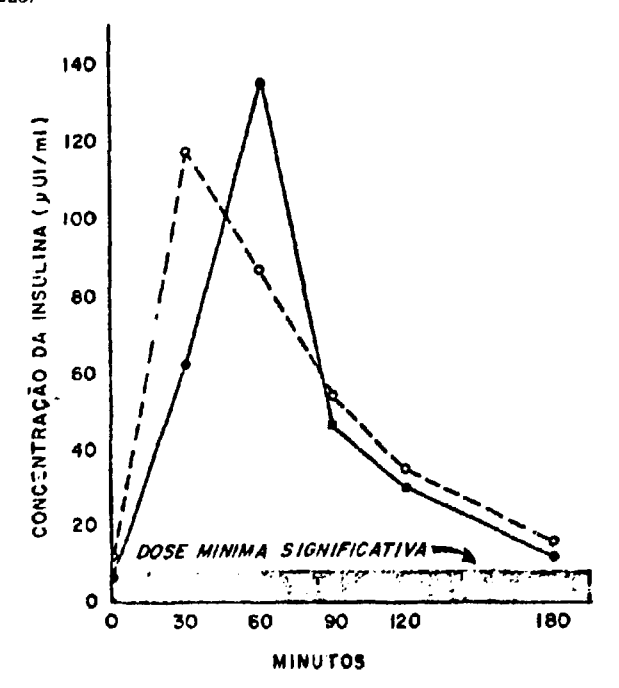


Figura 8 — Perfis de Concentrações Típicos da Prova de Estímulo com Glicose. Resultados de dois Casos.

3.5 - Aspectos Metodológicos Gerais

3.5.1 - Presenca de Anti-soro Anti-insulina no Soro a ser Dosado

Com muita freqüência, pacientes diabéticos com medicação de insulina heteróloga geram anti-soro contra esta insulina⁽¹⁹⁾. Este anti-soro, dependendo de sua concentração e da sua constante de afinidade, poderá interferir no resultado da insulina imunorreativa. Nesses casos, o "kit-insulina" poderá ainda ser usado desde que se elimine a presença do auto-anti-soro endógeno. Algumas técnicas podem ser utilizadas para esse propósito^(2,5,12,14,19).

3.5.2 - Volume de Soro a ser Dosado.

A solução de Polietileno Glicol (PEG) a 20% utilizada como reagente promotora da precipitação, do complexo antígeno-anticorpo necessita de uma quantidade mínima de soro para ser capaz de realizar sua função.

O volume de dosagem sugerido, (100 µI) constitui-se em quantidade de soro adequada. Volumes séricos menores do que 100 µI poderão compromoter a precipitação. Quando se fizer necessário diluir o soro com vistas de reduzir a quantidade de insulina; a nível compatível com os limites da curva padrão (entre aproximadamente 5 a 500 µUI/mI), tal diluição deverá ser feita utilizando-se soro livre de insulina cuja obtenção é descrito no item 2.3.1.

3.5.3 - Efeito da Temperatura Durante a Incubação

Como se observa na Figura 6b ao se aumentar a temperatura de incubação diminui-se o nível de ligação do complexo autígeno-anticorpo. Ao redimensionar o ensaio procurando recuperar os níveis de ligação obtidos pela incubação a baixa temperatura tem-se que aumentar a concentração do anti-soro, mas como conseqüência perde-se a sensibilidade da curva conforme se verifica na Figura 9.

Na Figura 10 comparam-se os resultados de 43 amostras dosadas simultaneamente, nas temperaturas de 4° C, 20° C e 37° C.

Como se observa dessa figura, os resultados do ensaio com a incubação à 4°C e à 20°C apresentam razoáve: correlação pois a maioria de seus pontos encontram-se espalhados em torno da reta bissetriz (Relação ideal 4°C & 20°C).

Com a mesma conduta, observa-se que os resultados provenientes das incubações a 4°C e a 37°C já não mostram a qualidade da correlação entre 4°C e 20°C.

A Figura 10 sugere que ao se aumentar a temperatura de incubação perde-se a qualidade de correlação frente aos resultados da incubação de 4°C. Em função dessas observações e daquelas já mencionadas sobre a Figura 9 sulecionou-se a temperatura de 4°C como a mais indicada para o radioensaio da insulina.

3.5.4 - Dose Mínima Significativa

O nível mínimo da concentração sérica da insulina calculado segundo os conceitos de Ekins⁽³⁾ e Rodbard e col. $(16,17)^{(3)}$ é de aproximadamente $9 \, \mu \text{UV/m} \text{I}$ conforme dados da Figura 3a.

3.5.5 - Perfil de Precisão do Ensaio

A Figura 11 mostra o perfil de precisão intra-ensaio e inter-ensaio.

Quando o ensaio é efetuado em tubos em duplicata, o nível de imprecisão das dosagens referentes ao mesmo ensaio (intra-ensaio) é da ordem de 10% na faixa de 20 a 140 µUl/ml. Por outro lado quando a amostra é repetida em diferentes ensaios ou dias, a dispersão de seus resultados é da ordem de 36% a 15% na faixa de 20 a 140 µUl/ml, conforme se infere das Figuras 11 e 12.

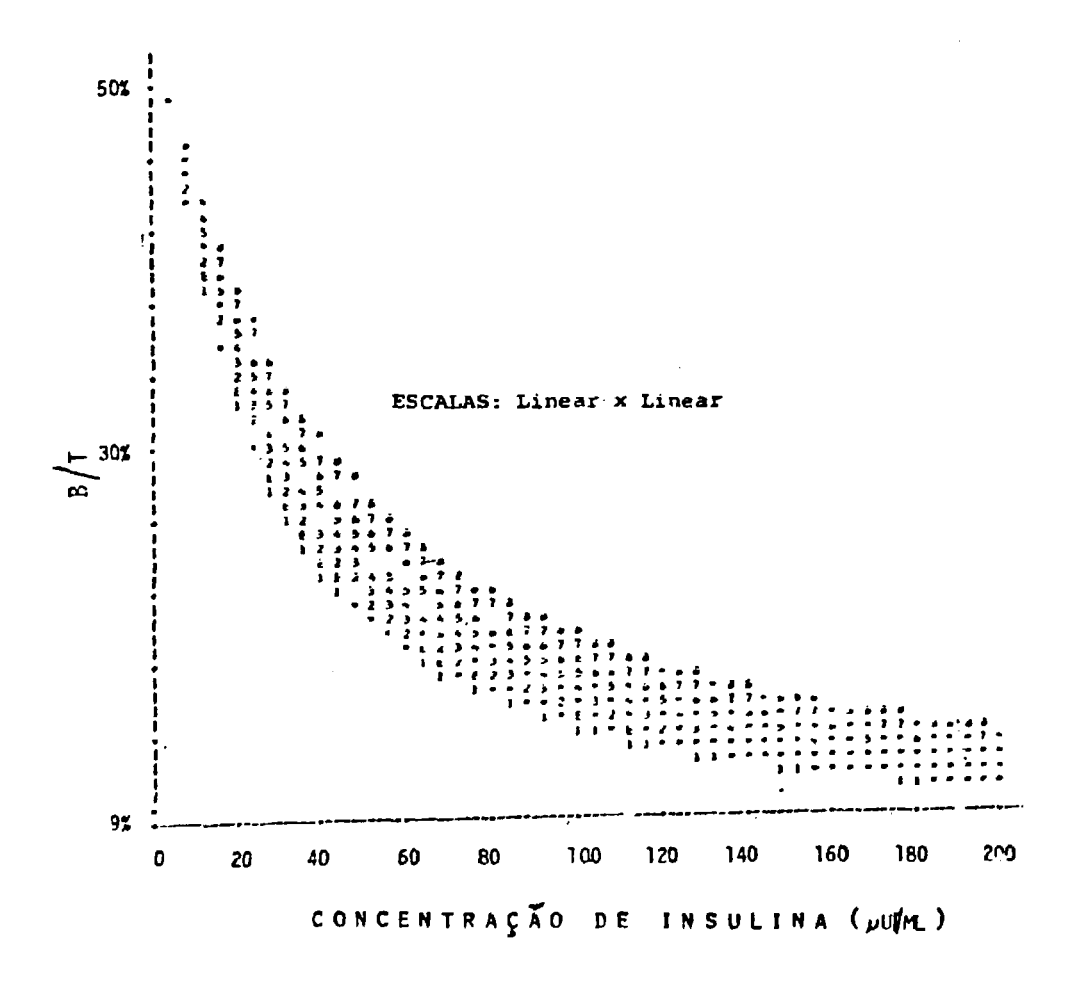


Figura 9 — Curvas-padrão Relativas a Diversas Temperaturas de Incubação Utilizando-se Concentração de Anti-soro Capaz de Complexar com 50% da Insulina Radioativa na Ausância de Insulina Fría.

- 1 Incubação a 0°C
- 2 Incubação a 10°C
- 3 Incubação a 15°C
- 4 Incubação a 20°C
- 5 Incubação a 25°C
- 6 Incubação a 30°C
- 7 Incubação a 35°C
- 8 Incubação a 40°C
- E Incubação a 4°C (a mesma do ensaio)

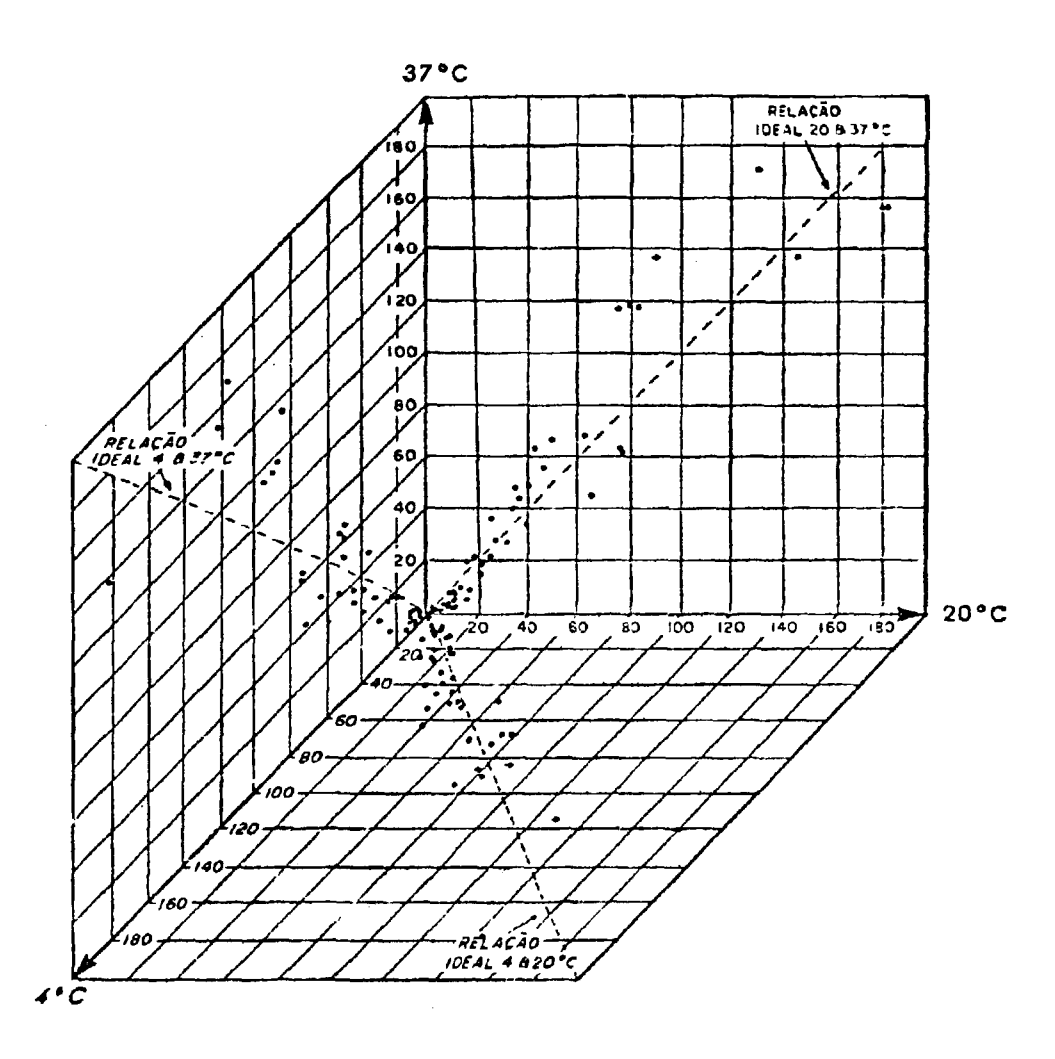


Figura 10 — Correlação de Resultados dos Radiolimunoensaios da Insulina Realizados nas Três Diferentes Temperaturas.

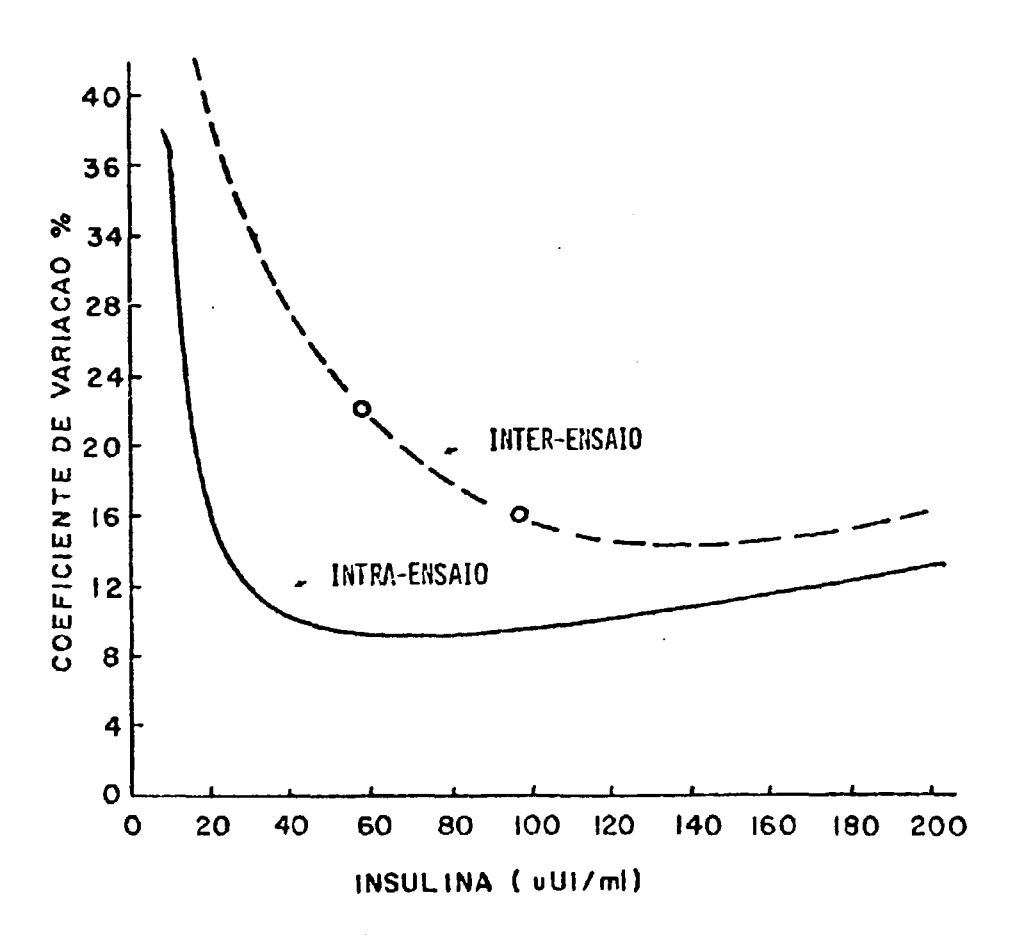


Figura 11 – Perfil de Imprecisão Intra-ensaio (média de diversos ensaios) e Inter-ensaio. A curva Representativa da Imprecisão Inter-ensaio foi Traçada a Partir de Três Pontos dos quais um Encontra-se Fora da Escala Apresentada (Baixa Concentração).

SOROS CONTROLES (AU/m1)

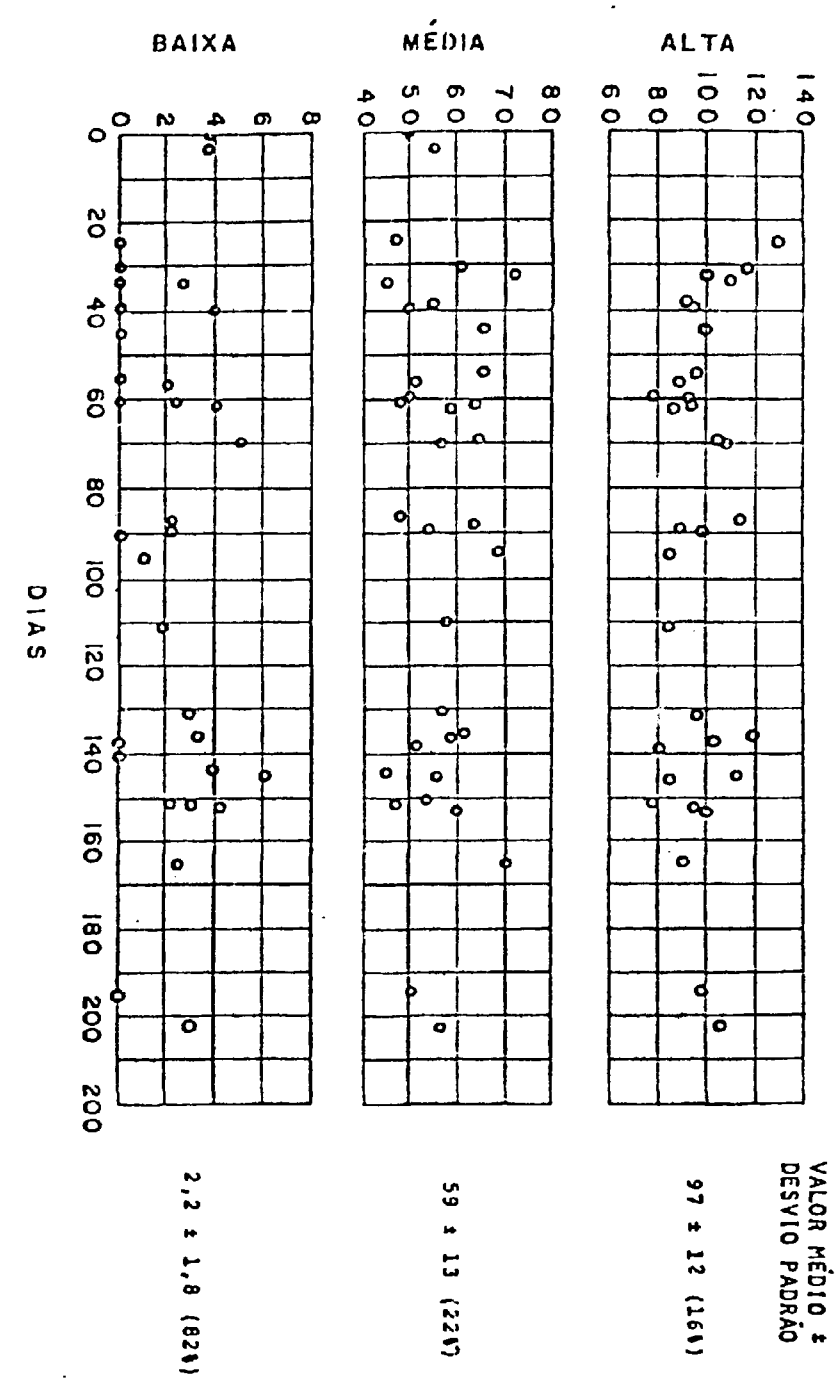


Figura 12 — Varioção Inter-ensaio de Três Amostras Doseadas Sistematicamente.

4 - CONCLUSÕES

- 1 O reagente marcado possui aproximadamente 0,5 átomo de 125 l por molécula de insulina.
- 2 · A atividade específica da radioinsulina é de 196 ± 33 μCi/μg.
- 3 O prazo de validade da Insulina-1251 é de 50 dias.
- 4 · O anti-soro empregado apresenta constante de afinidade igual a $85 \pm 13 \times 10^{-9}$ l /mol a 4° C.
- 5 Seguindo-se o protocolo proposto a concentração molar do anti-soro na reação é de 20 ± 14 pmol/1.
- 6 A temperatura de incubação apropriada é a de 4°C.
- 7 A exatidão dos soros de referência (padrões) é de 10% a 30%.
- 8 Os valores de normalidade a nível sérico basal é de 8 ± 6 μUI/ml correspondente a faixa de 0 a 20 μUI/ml ao nível de α = 0,05.
- 9 A imprecisão dos resultados de um mesmo ensaio (imprecisão intra-ensaio é de aproximadamente de 10% na faixa de concentração de 20 a 140 μ UI/ml.
- 10 A imprecisão dos resultados de dosagens efetuados em diferentes dias (imprecisão inter-ensaio) é de 36% a 15% na faixa de 20 a 140 μUI/ml.
- 11 O nível de dose mínima detectável é de aproximadamente 9,0 ± 4.3 μUI/ml.

AGRADECIMENTOS

Durante as fases experimentais e do processamento de dados, este trabalho contou com a inestimável cooperação do acadêmico José Augusto Carrinho Antonio ao qual expressamos os nossos agradecimentos e amizade.

Agradecemos a Srta. Maria de Fátima Alvim a sua dedicação, presteza e paciência dispensada na datilografia.

REFERÊNCIAS BIBLIOGRÁFICAS

- BERSON, S. A. & YALOW, R. S. General methodology. In: YALOW, R. S. Methods in radioimmunoassay of peptide hormone. Amsterdam, North-Holland, 1976. p.14-17.
- 2. BERSON, S. A. & YALOW, R. S. Immunoassay of plasma insulin. CIBA Coll. Endocrinol., 41:182, 1962.
- EKINS, R. & NEWMANN, B. Theoretical aspects of saturation analysis. In: RESEARCH methods in reproductive endocrinology: Karolinska 2nd symposium on steroid assay by protein binding, held in Geneva, 1970, p.11-38.
- FREYCHET, P.; ROTH, J.; NEVILLE JR, D. M. Monoiodoinsulin: demonstration of its biological activity and binding to hot cells and liver membranes. *Biochem. Biophys. Res. Comm.*, 43:400-8, 1971.

- HEDING, L. G.; KASPERSKA.; CZYZYKOWA, T. C. Peptide and proinsulin after oral glucose. Acta Med. Scand. (in print).
- HEYNS, W.; VAN BAELEN.; MOOR, P. Study of steroid binding by means of competitive adsorption: application to cortisol binding in plasma. Clin. Chim. Acta, 18:361-70, 1967.
- HIGA, O. Z.; SOUZA, I. T. T.; WAJCHENBERG, B. L.; MARTINS, H. P.; PIERONI, R. R. Standardization of radioimmunoassay technique for determination of plasma insulin and growth hormone. In: INTERNATIONAL ATOMIC ENERGY AGENCY. Radioimmunoassay and related procedures in medicine: proceedings of a symposium held in Instanbul, 10-14 September 1973. Vienna 1974. V.2 p.291-307.
- 8. KEANE, P. M.; WALKER, W. H. C.; GAULDIE, J.; ABRAHM, G. Thermodynamic aspects of some radioassays. *Clin. Chem.*, 22(i):70-3, 1976.
- MESQUITA, C. H. Elaboração e avaliação do desempenho de programa computacional destinado ao controle de qualidade de ensaios radioligantes. Aplicação ao radioensaio de insulina. São Paulo, 1973. (Dissertação de Mestrado, Instituto de Pesquisas Energéticas e Nucleares).
- MESQUITA, C. H. & GOUVEA, A. S. GARLA: sistema computacional para a análise de ensaios radioligantes. In: GRANZOTTO, A.; GOUVEA, A.; LOURENÇO, E. M. eds. Compilação dos resumos dos códigos nucleares disponíveis no CPD/IPEN. São Paulo, Instituto de Pesquisas Energéticas e Nucleares, junho 1981. p.71.
- MORRIS, B. J. Specific radioactivity of radioimmunoassay tracer determined by self-displacement: a re-evaluation. Clin. Chim. Acta. 73:312-, 1976.
- NAGIB, N.; MESQUITA, C. H.; KIEFFER, J.; DECOUR, J. Dosagem de diagoxína no plasma por técnica de radioimunoensaio, metodologia e comentários. In: SOCIEDADE Brasileira de Cardiologia. Cardiologia: congresso brasileiro realizado em Curitiva 1972. s.p.
- NAKAGAWA, S.; NAKAYAMA, H.; SASAKI, T.; YOSHINO, K.; YING, Y.Y.; SHINOZAKI, K.; AOKI, S.; MASHIMO, K. A simple method for the determination of serum free insulin levels in insulin-treated patients. *Diabetes*, 22:590, 1973.
- PEARSON, M. J. & MARTIN, F. F. R. The separation of plasma insulin from binding proteins using
 gel filtration: its application to the measurement of rate of insulin disappearance. *Diabetologia*,
 6:581, 1970.
- PRIORI, R. L. & ROSENTHAL, H. E. A statistical method for the estimation of binding parameters in a complex system. Anal. Biochem., 70:231-40, 1976.
- 16. RODBARD, D. & LEWALD, J. E. Computer analysis of radioligant and radioimmunoassay data. In: RESEARCH methods in reproductive endocrinology: Karolinska 2nd symposium on steroid assay by protein binding held in Geneva, 1970. p.79-92.
- 17. RODBARD, D.; MUNSON, P. J.; DELEAN, A. Improve curve fitting paralelism testing characterization of sensitivity and specificity, validation and optimization of radioligant assay. In: INTERNATIONA. ATOMIC ENERGY AGENCY. Raioimmunoassay and related procedures in medicine: processings held in Berlin, 31 October-4 November, 1977. Vienna, 1978. V.2 p.469-514.
- SCATCHARD, G. The actractions of proteins for small molecules and ions. Ann. N. Y. Acad. Sci., 51:660-72, 1949.

- SOUZA, I. T. & WAJCHENBERG, B. L. Avaliação e padronização de método para determinação de níveis de insulina total ... livre em plasma contendo anticorpos antinsulina. Arq. Bras. Endocrinol. Metabol., 27(2):81-5, 1983.
- SOUZA, I. T. T.; HIGA, O. Z.; WAJCHENBERG, B. L.; MARTINS, H. P.; PIERONI, R. R. Aplicação do método do radioimunoensaio da dosagem da insulina no plasma humano. Rev. Ass. Medica bras., 20(1):41-6, 1974.
- 21. THORELL, J. 1. & LARSON, S. M Radioligand radioimmunoassay and related techniques methodology and clinical applications. Saint Louis, The C. V. Mosby, 1978. p.32.
- 22. WAJCHENBERG, B. L.; SUGAVARA, S. H.; MESQUITA, C. H.; LERARIO, A. C.; WACHSLICHT, H.; PIERONI, R. R.; MATTAR, E. Comparison of plasma progesterone assay in women by competitive protein binding (CPB) and radioimmunoassay (RIA). *Clin. Chim. Acta.* 68(1):67-72, 1976.
- YALOW, R. S. & BERSON, S. A. Insulin. In: YALOW, R. S. comps. Methods in radioimmunoassay of peptide hormones. Amsterdam, North-Holland, 1976. p.168-74.